

## 論 文

UDC 669.15'74-194 : 669.14-987 : 669.112.22

# Fe-Mn 合金の高圧処理による $\epsilon$ 相の生成と引張応力下でのその相の安定性\*

藤田 充 苗\*\*・内山 郁\*\*\*

Formation of  $\epsilon$  Phase in Fe-Mn Alloys Under High Pressure  
and Its Stability Under Tensile Stress

Mitsutane FUJITA and Iku UCHIYAMA

## Synopsis:

The  $A_s$  and  $M_s$  temperature in the martensitic transformation of Fe-Mn alloys under hydrostatic pressures up to 35.5 kbar were measured by the differential thermal analysis. The progresses of  $\gamma \rightarrow \epsilon$  and  $\epsilon \rightarrow \alpha$  transformation as influenced by the pressure and temperature changes and the effect of the tensile stress on them were discussed from a thermodynamical point of view. The main results obtained are as follows:

- 1) The  $A_s$  and  $M_s$  temperatures in the  $\gamma \rightleftharpoons \alpha$  transformation of alloys containing 4.8% or 6.76% of Mn, by increasing the pressure, were lowered at an approximate rate of 40°C/10 kbar, while those in the  $\gamma \rightleftharpoons \epsilon$  transformation of alloys containing 6.76 to 28.24% of Mn were raised at an approximate rate of 40°C/10 kbar.
- 2) The  $A_s$  and  $M_s$  temperatures calculated on the basis of the free energy changes of the phases were in a good agreement with those observed.
- 3) The  $\gamma \rightarrow \epsilon$  transformation progressed rapidly in the vicinity of the  $M_s^{\gamma \rightarrow \epsilon}$  temperature and then gradually with further decreasing the temperature.
- 4) In order to stabilize at the ambient pressure and temperature, the  $\epsilon$  phase which had been formed by pressurizing, it was required that the  $M_s^{\epsilon \rightarrow \alpha}$  and the  $A_s^{\epsilon \rightarrow \gamma}$  temperatures of the alloy were lower and higher, respectively than the room temperature.
- 5) The increase in the tensile strength was obtained only for the specimens in which the  $\epsilon$  phase had been formed by pressurizing. The reason for the increase in the strength was explained on the basis of the thermodynamics for the  $\gamma \rightarrow \epsilon$  transformation under tensile stress.

(Received Sept. 7, 1973)

## 1. 緒 言

常圧下で、鉄に Mn<sup>1)~4)</sup>, Ru<sup>5)6)</sup>, Ir<sup>7)</sup>などを加えた2元系合金や Fe-Ni-Cr<sup>8)9)</sup>, Fe-Mn-Cr<sup>10)</sup>などの3元系合金あるいは多元系合金<sup>11)12)</sup>において、 $\epsilon$ 相(hcp)が出現することが報告されている。しかし、常圧下では $\epsilon$ 相だけの状態は Fe-Ru などの特殊な合金系でしか得られない。

一方、純鉄を常温で 130 kbar まで加圧すると $\epsilon$ 相が現われる<sup>13)~16)</sup>。しかし、この高圧下で出現した鉄の $\epsilon$ 相は、圧力を除去してゆくと、51 kbar までにすべて $\alpha$ 相に変態してしまうことが報告されている<sup>17)</sup>。

以上のことから、もし、圧力処理または圧力下で熱処理することと、合金元素添加の2つを組合わせれば、高圧

下で出現する $\epsilon$ 相を常圧まで安定に持ち来たすことができると考えられる。これまでに、鉄の $\epsilon$ 相を出現させる圧力に及ぼす添加元素の影響について実験した2, 3の報告がある<sup>18)~20)</sup>。たとえば、Ru<sup>5)</sup>, Mn<sup>18)</sup>あるいはNi<sup>18)</sup>の添加が $\epsilon$ 相の出現圧力を下げるのに有効であることが報告されている。また GILES ら<sup>21)</sup>は Fe-Mn 系合金(Mn 量 17.7%まで)などを室温で 155 kbar まで加圧し、Mn 量 17.7% の Fe-Mn 合金の場合は圧力を除後でも 100% の $\epsilon$ 相を得ている。一方、CHRISTOU<sup>22)</sup>らは爆圧を利用して、Fe-Mn 合金(Mn 量 13.62%まで)に

\* 昭和48年10月本会講演大会にて発表  
昭和48年9月7日受付

\*\* 金属材料技術研究所

\*\*\* 金属材料技術研究所 工博

(b) 试样尺寸为  $5 \text{ mm} \times 4 \text{ mm}$  的钢制试样，其宽度为  $5 \text{ mm}$ ，厚度为  $2 \text{ mm}$ ，在  $35.5 \text{ kbar}$  压力下进行试验，见 Fig. 1 (a)。试样尺寸为  $5 \text{ mm} \times 4 \text{ mm} \times 4 \text{ mm}$  的钢制试样，在  $35.5 \text{ kbar}$  压力下进行试验，见 Fig. 1 (b)。试样尺寸为  $5 \text{ mm} \times 5 \text{ mm} \times 5 \text{ mm}$  的钢制试样，在  $35.5 \text{ kbar}$  压力下进行试验，见 Fig. 1 (c)。试样尺寸为  $5 \text{ mm} \times 5 \text{ mm} \times 5 \text{ mm}$  的钢制试样，在  $35.5 \text{ kbar}$  压力下进行试验，见 Fig. 1 (d)。

2.1 实验方法

M-14 钢的塑性变形率在  $100^\circ\text{C}$  下随温度的降低而减小，而 M-10 钢的塑性变形率在  $100^\circ\text{C}$  下随温度的降低而减小，但 M-10 钢的塑性变形率在  $200^\circ\text{C}$  下随温度的降低而增加。因此，M-10 钢的塑性变形率在  $200^\circ\text{C}$  下随温度的降低而减小，而 M-14 钢的塑性变形率在  $200^\circ\text{C}$  下随温度的降低而减小，因此，M-14 钢的塑性变形率在  $200^\circ\text{C}$  下随温度的降低而减小。

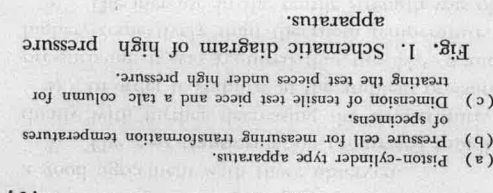


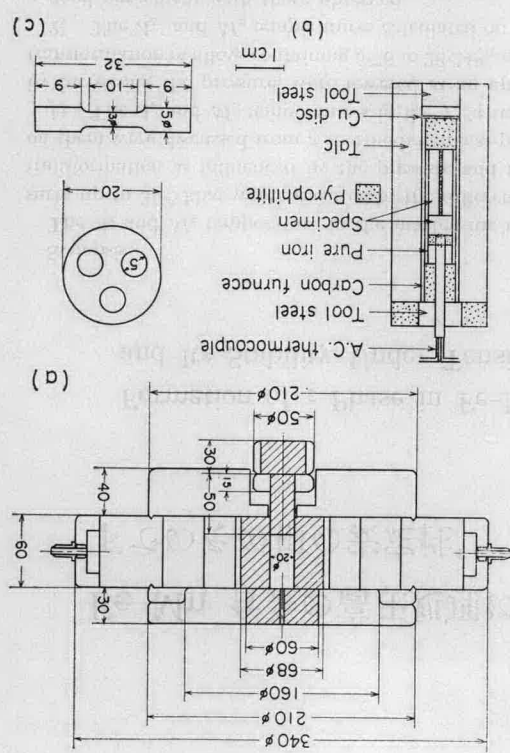
Fig. 1. Schematic diagram of high pressure apparatus.

(a) Piston-cylinder type apparatus.

(b) Pressure cell for measuring transformation temperatures of specimens.

(c) Dimensions of tensile test piece and a talc column for pressuring the test pieces under high pressure.

(d) Pressure cell for measuring transformation temperatures of specimens.



	Mn	C	S	P	Si	Phase*
M-5	4.80	0.002	0.003	0.001	0.006	a
M-7	6.76	0.004	0.003	0.001	0.002	a
M-10	9.57	0.003	0.005	0.002	0.007	a + e
M-14	14.06	0.004	0.004	0.001	0.002	a + e + r
M-17	16.90	0.005	0.005	0.002	0.010	e + r
M-19	18.85	0.004	0.006	0.002	0.010	e + r
M-23	22.65	0.005	0.008	0.002	0.012	e + r
M-28	28.24	0.007	0.009	0.002	0.007	r

\* at room temperature and atmospheric pressure.

Table I. Chemical composition of specimens.

## 2.2 实验方法

2.2.1 装置点的测定

本实验装置上各装点如图所示 → 装置的连接图。

2.2.2 实验方法

本实验装置上各装点如图所示 → 装置的连接图。

本实验装置上各装点如图所示 → 装置的连接图。